

*Fig. 1.*



*Fig. 12.*



*Fig. 13.B.*



*Fig. 13.A.*

2/17

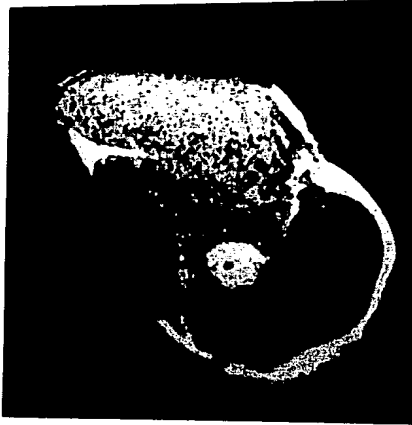


fig. 28.



fig. 30.

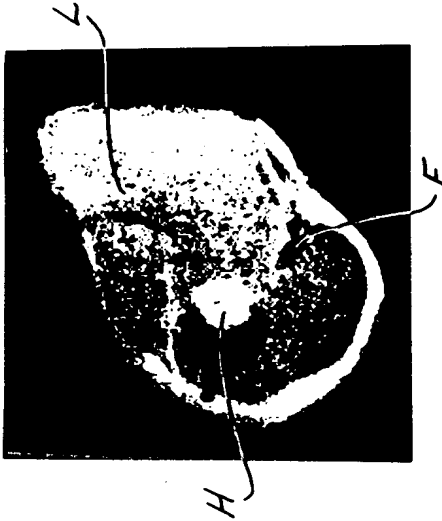


fig. 24.



fig. 31.

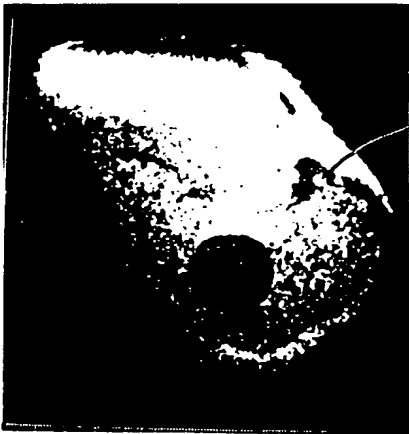


fig. 3.



fig. 4.

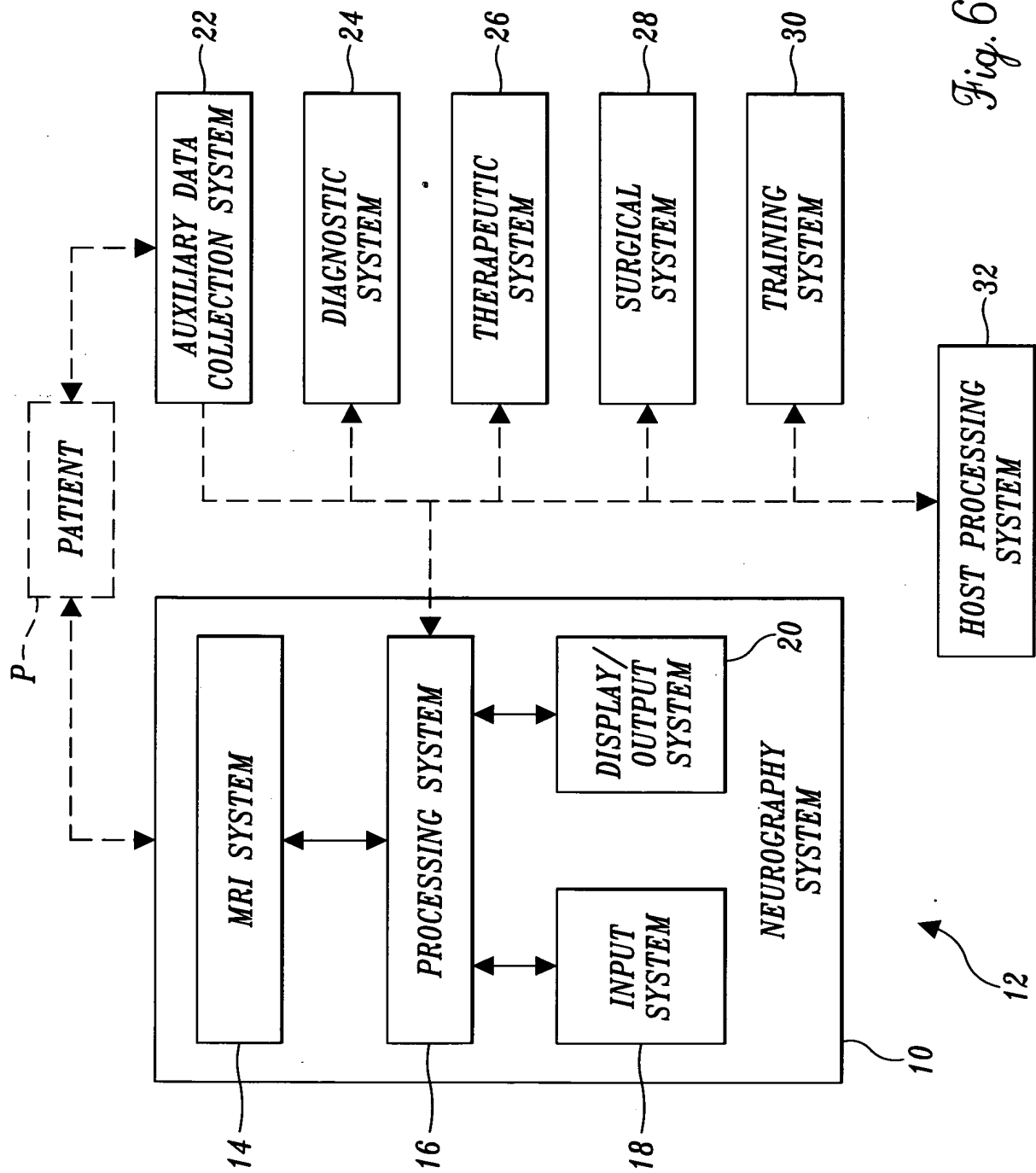


Fig. 6.

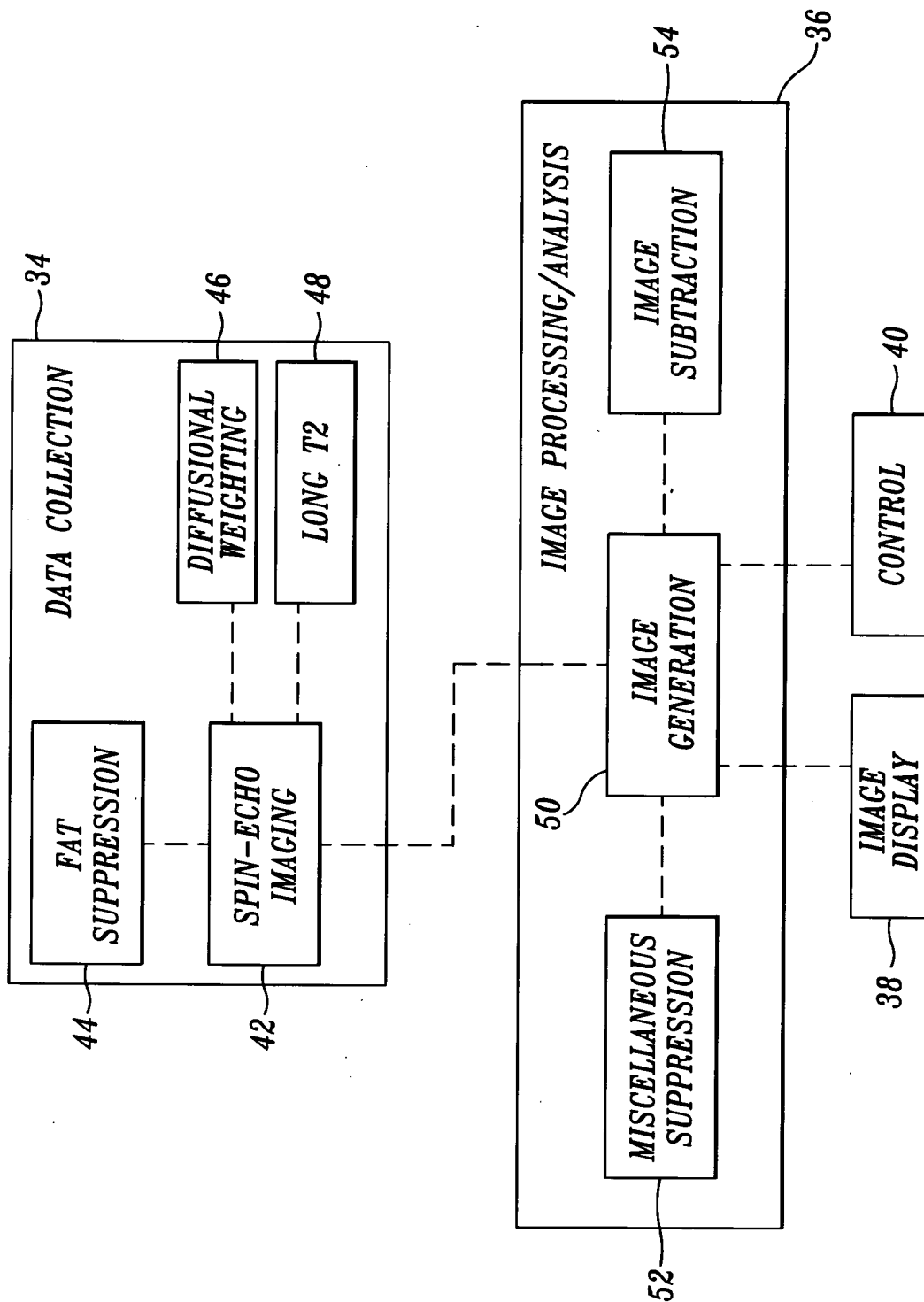
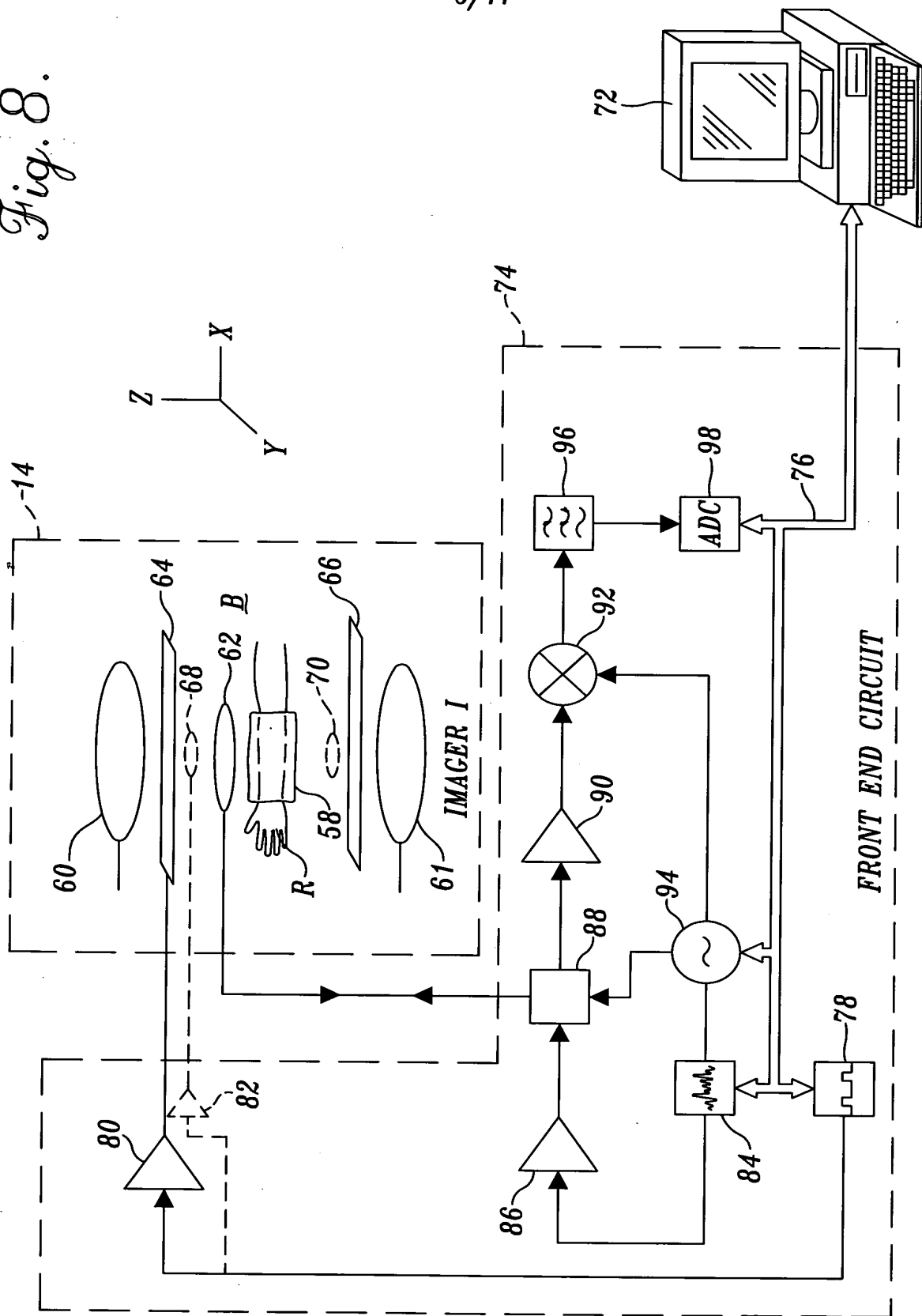
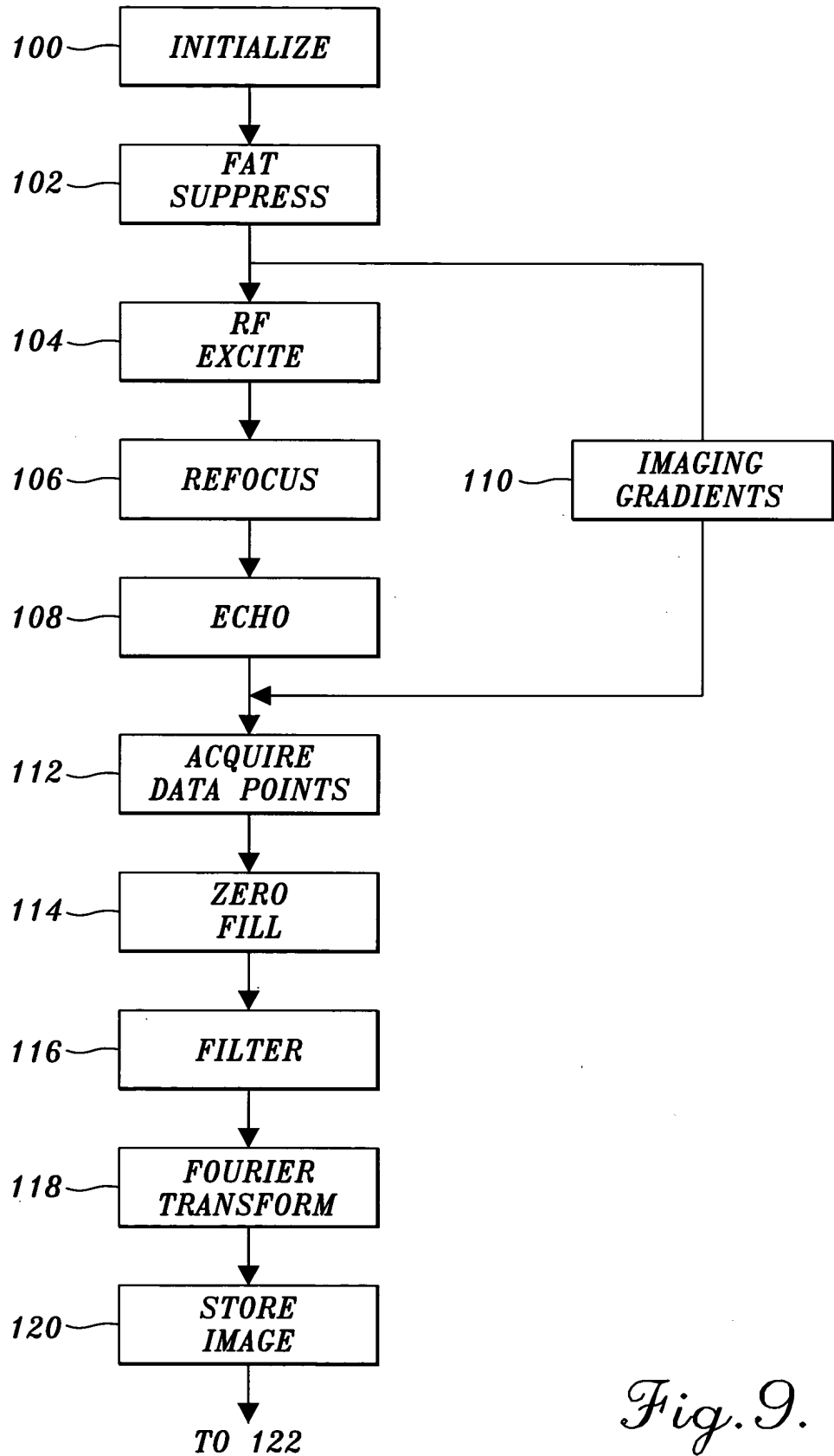


Fig. 7.

Fig. 8.



6/17



*Fig. 9.*

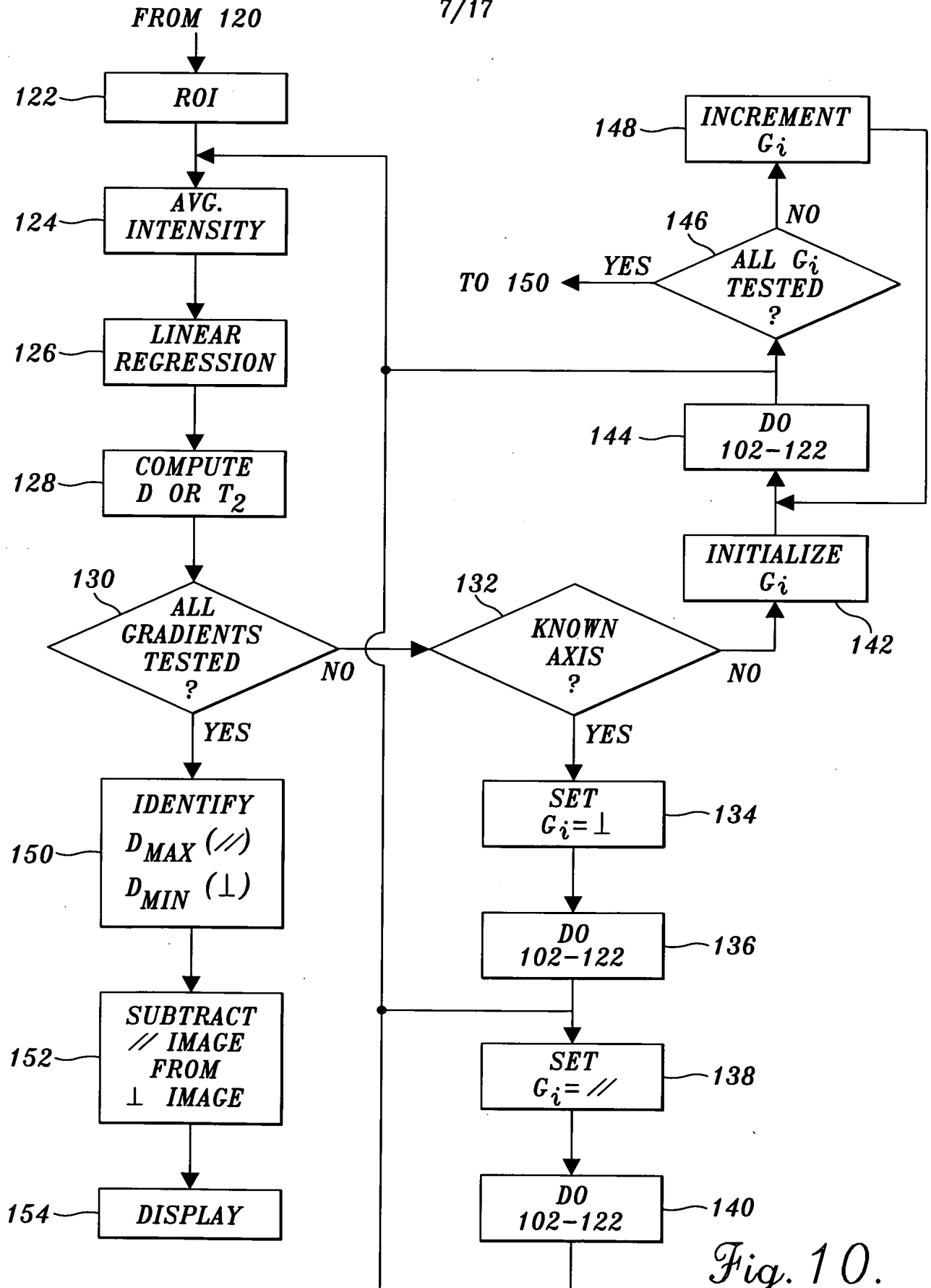


Fig. 10.

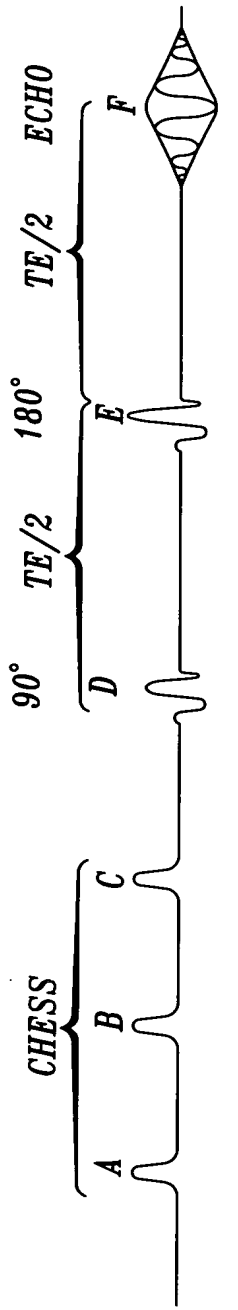


Fig. 11A. RADIO  
FREQUENCY  
PULSES

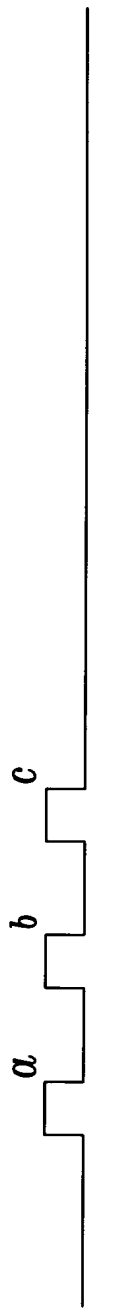


Fig. 11B. DEPHASING/  
SPOILER  
GRADIENTS

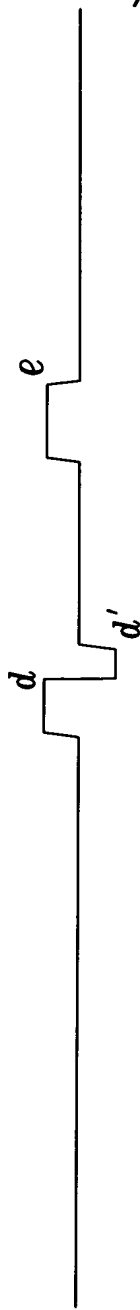


Fig. 11C. SLICE  
SELECTION  
GRADIENTS

8/17

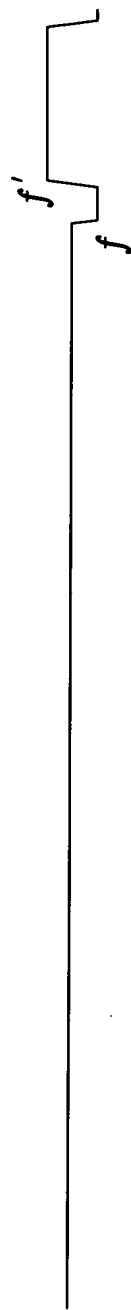


Fig. 11D. FREQUENCY  
ENCODING/  
READOUT  
GRADIENT

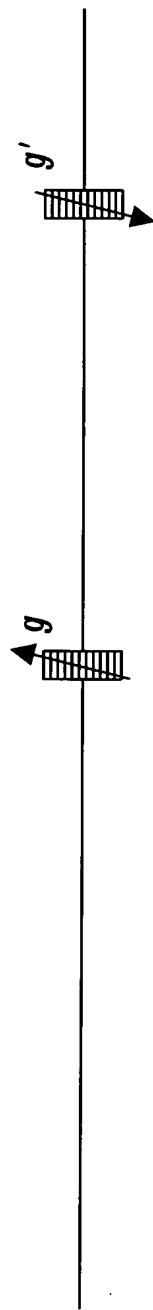


Fig. 11E. PHASE  
ENCODING

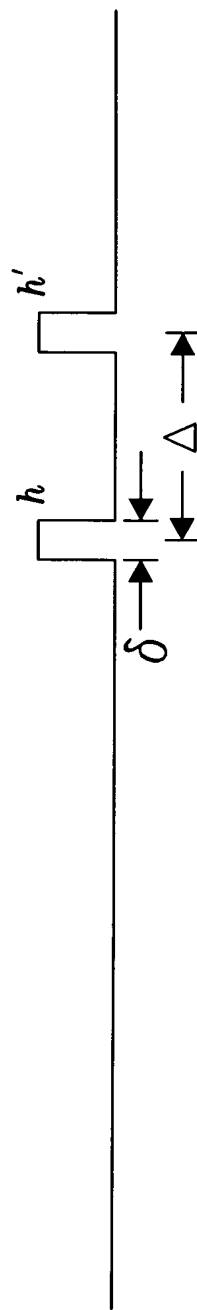
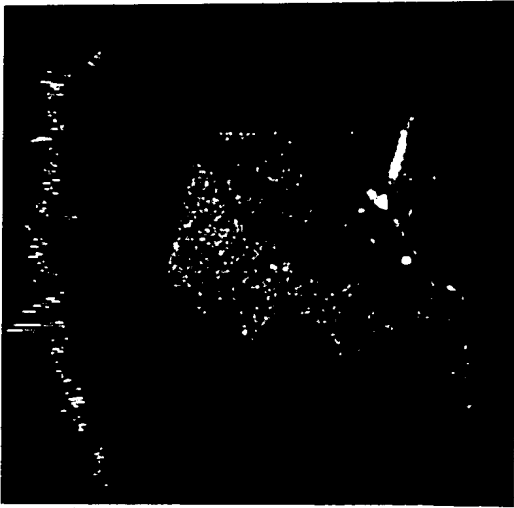


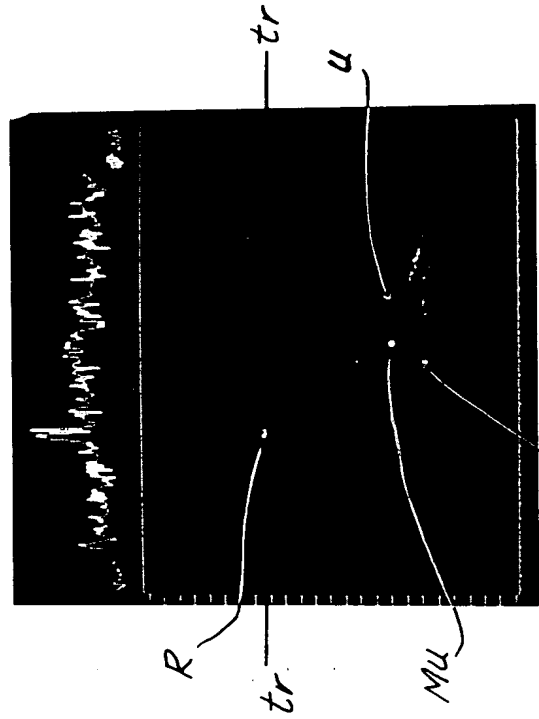
Fig. 11F. DIFFUSION  
SENSITIZING  
GRADIENTS



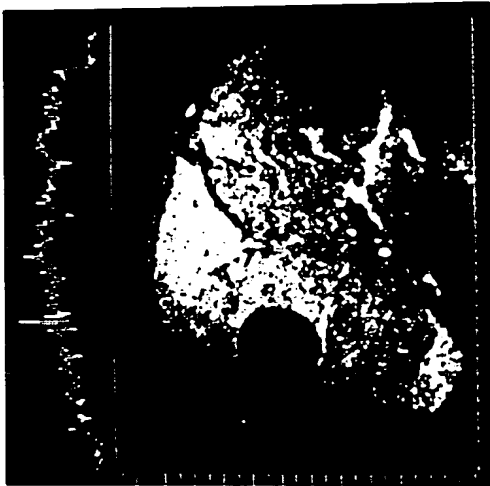
9/17



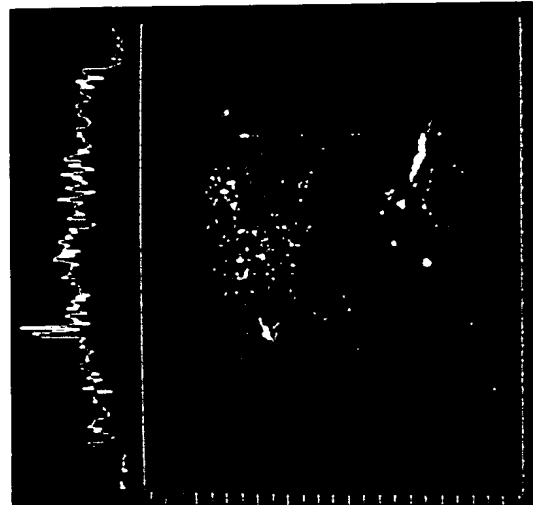
*Fig. 14B.*



*Fig. 14D.*



*Fig. 14A.*



*Fig. 14C.*

10/17

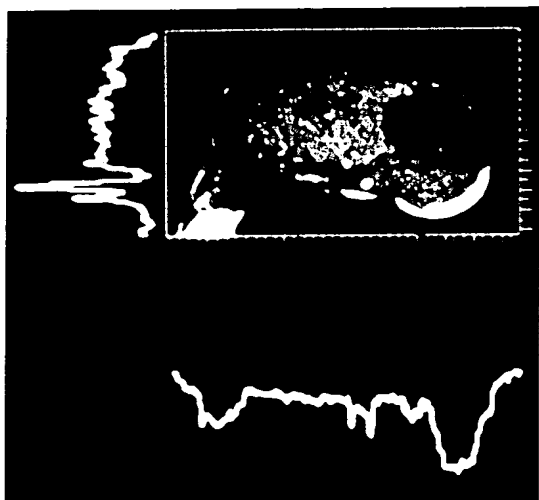


Fig. 15B.

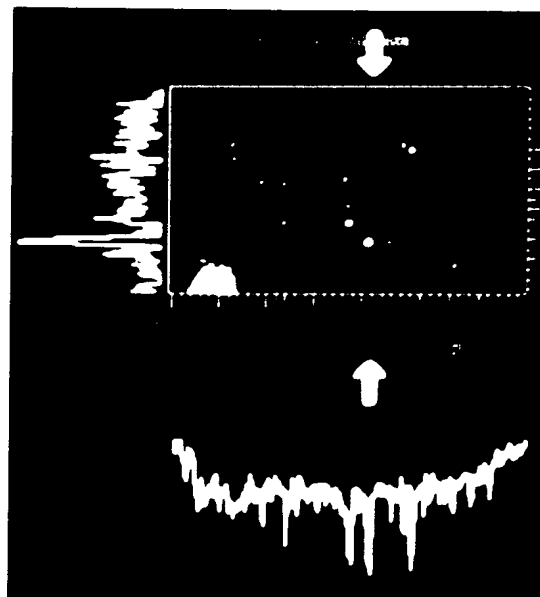


Fig. 15D.

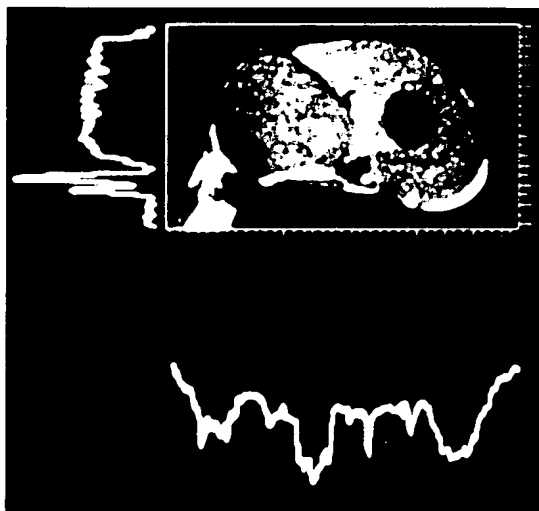


Fig. 15A.

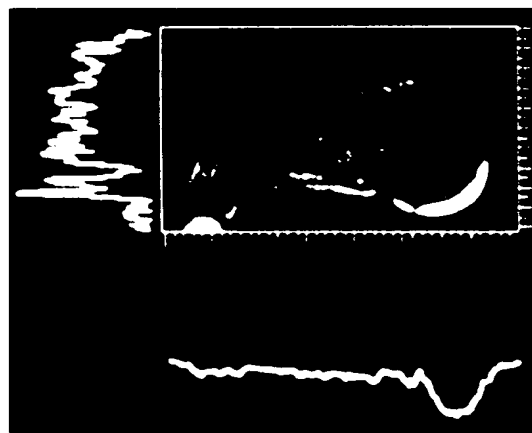
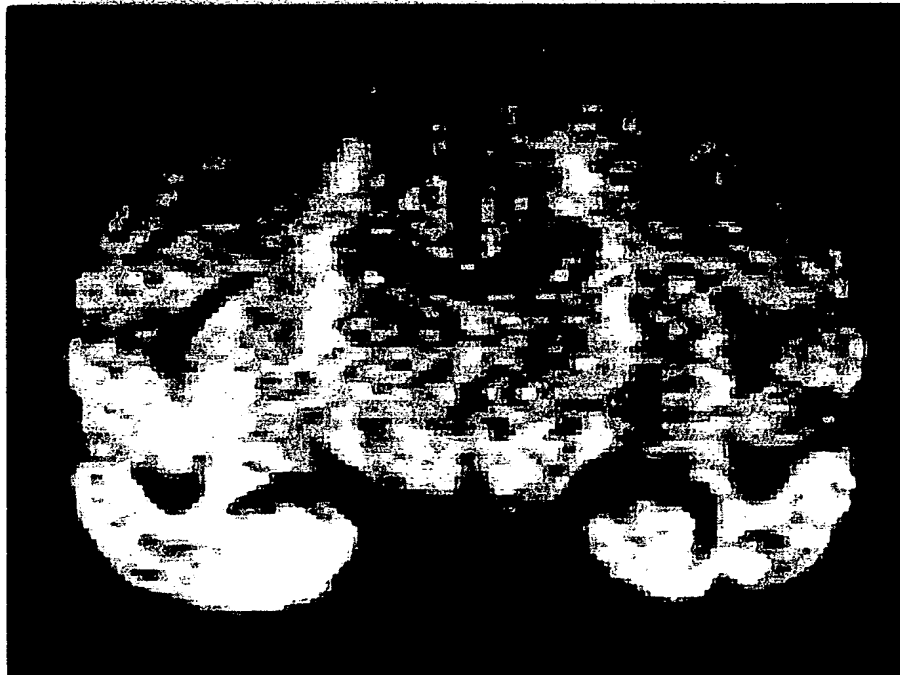
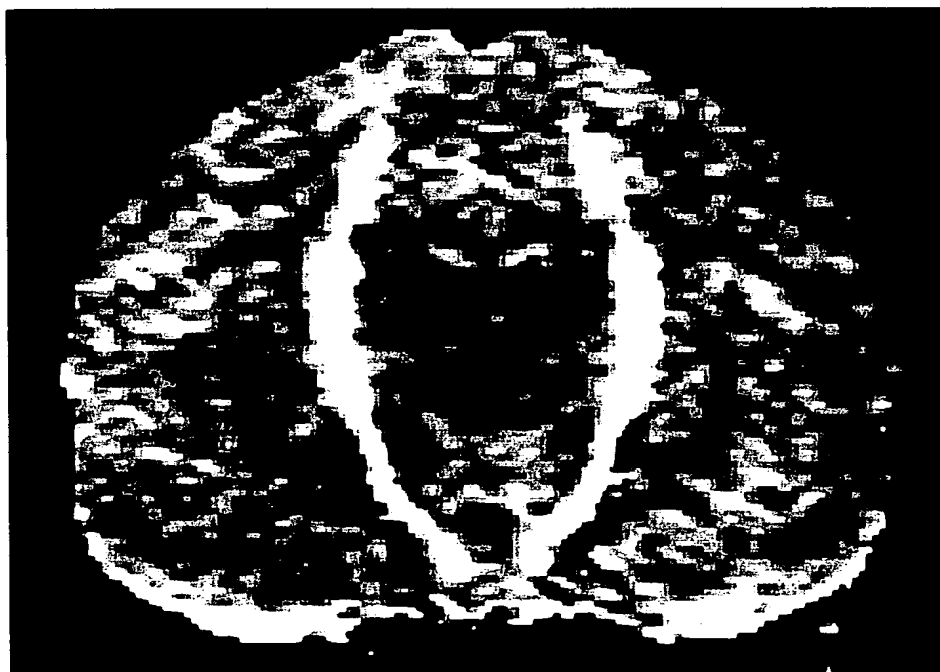


Fig. 15C.

11/17



*Fig. 16.*



*Fig. 17.*

12/17

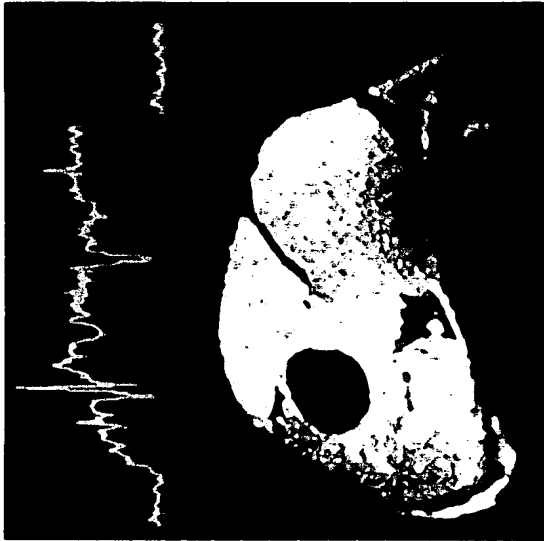


Fig. 18B.

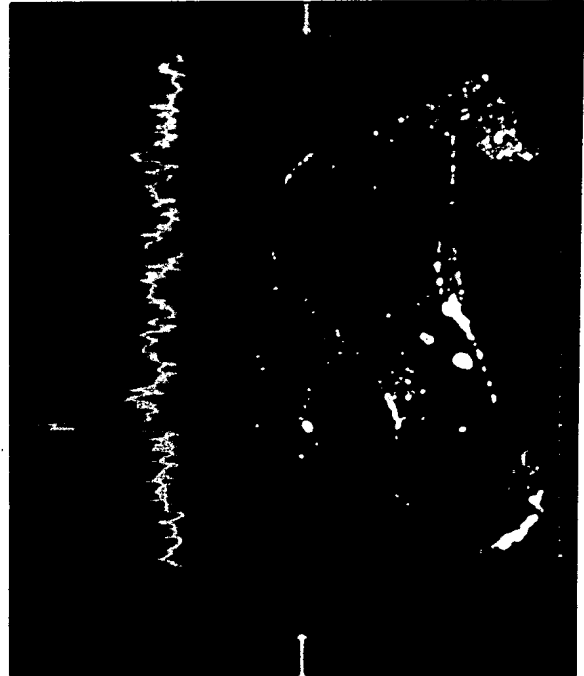


Fig. 18D.

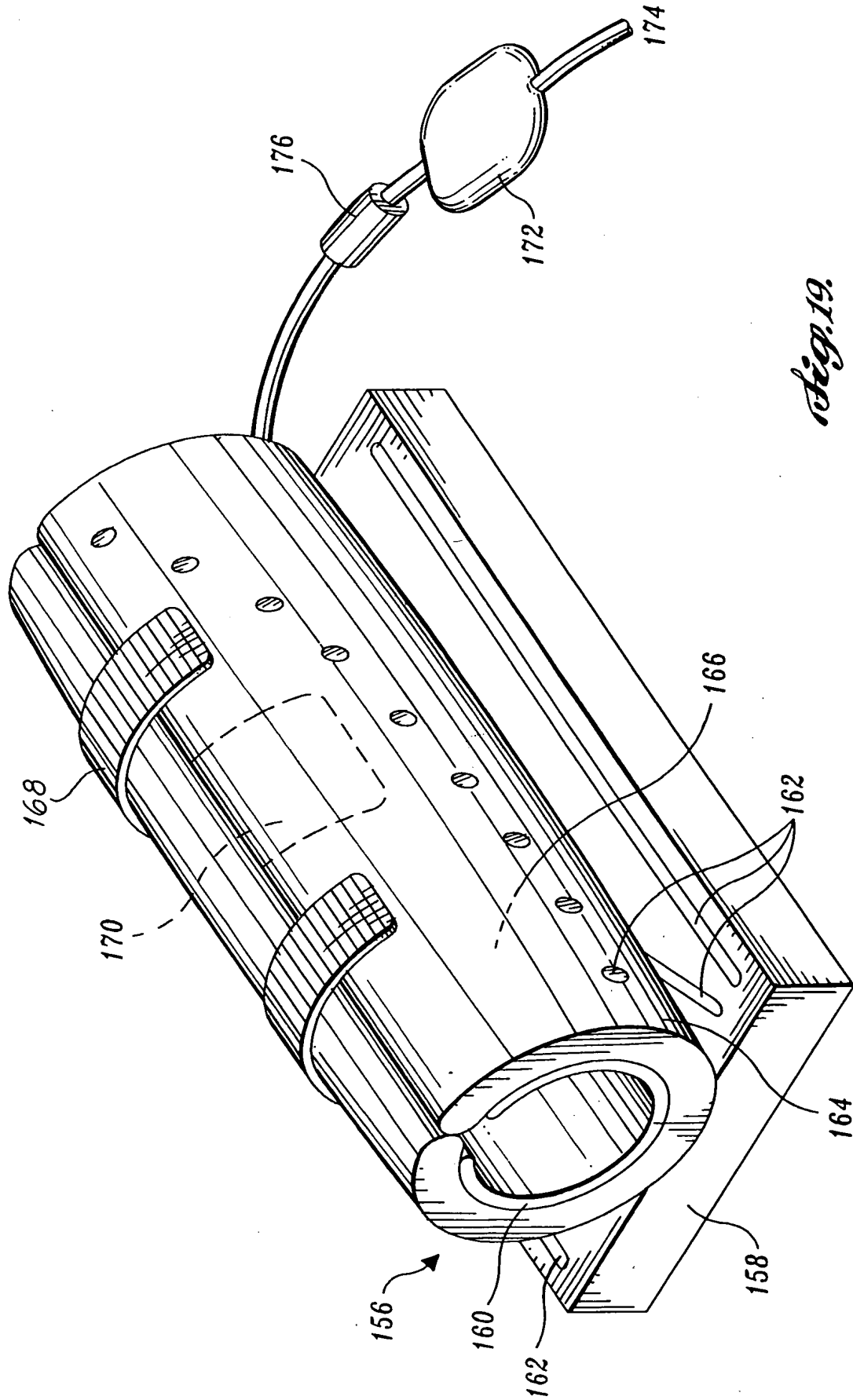


Fig. 18A.



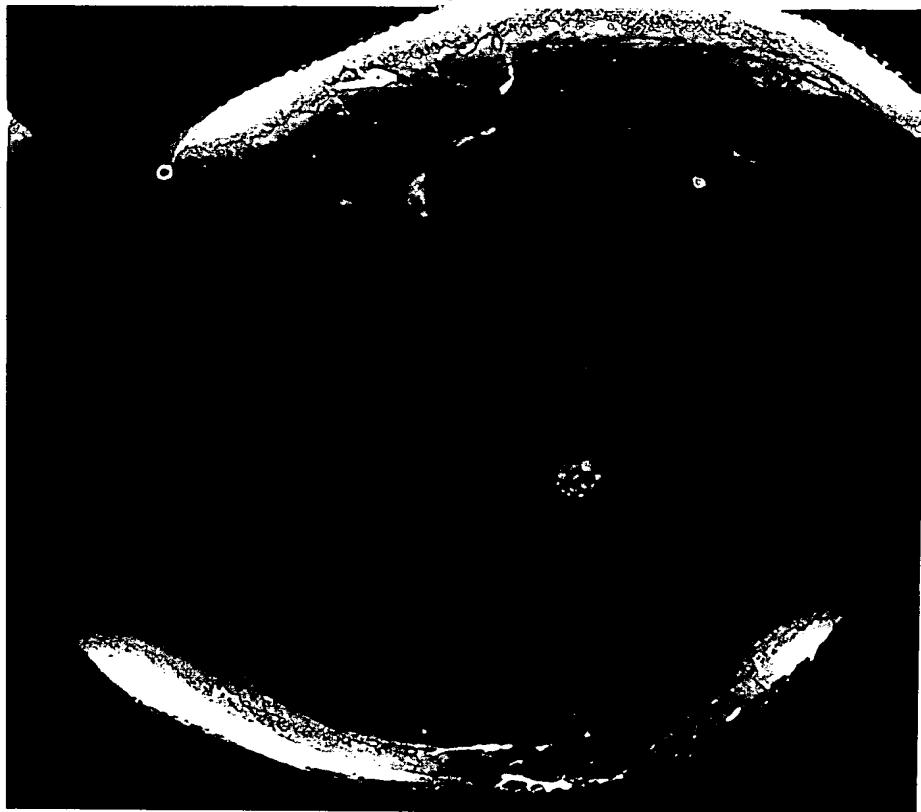
Fig. 18C.

13/17

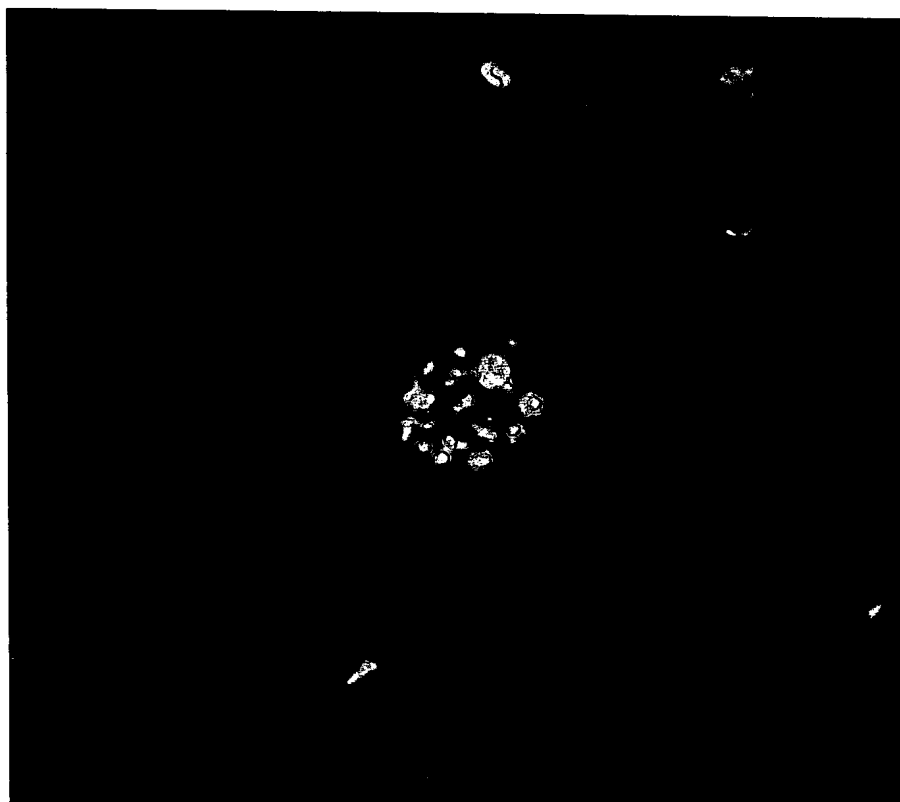


*Fig. 19.*

14/17

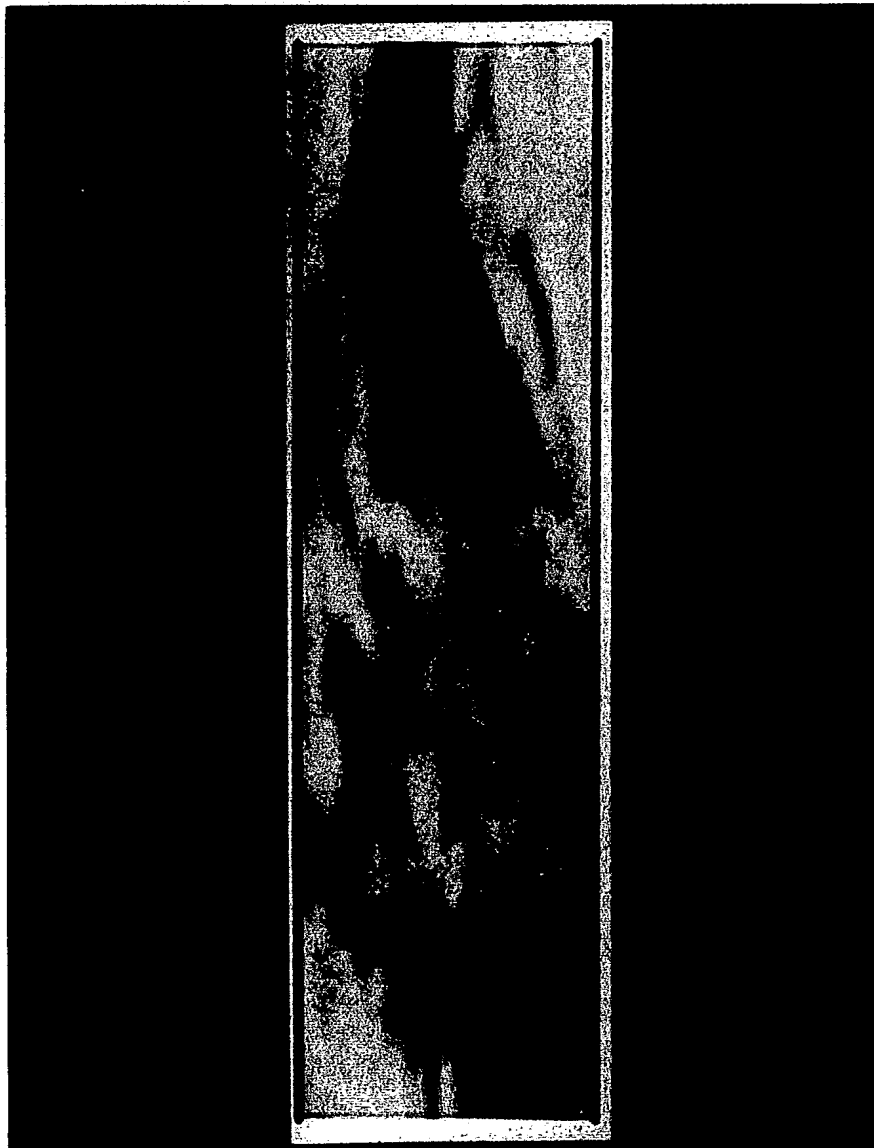


*Fig. 20.*



*Fig. 21.*

15/17



*Fig. 22.*

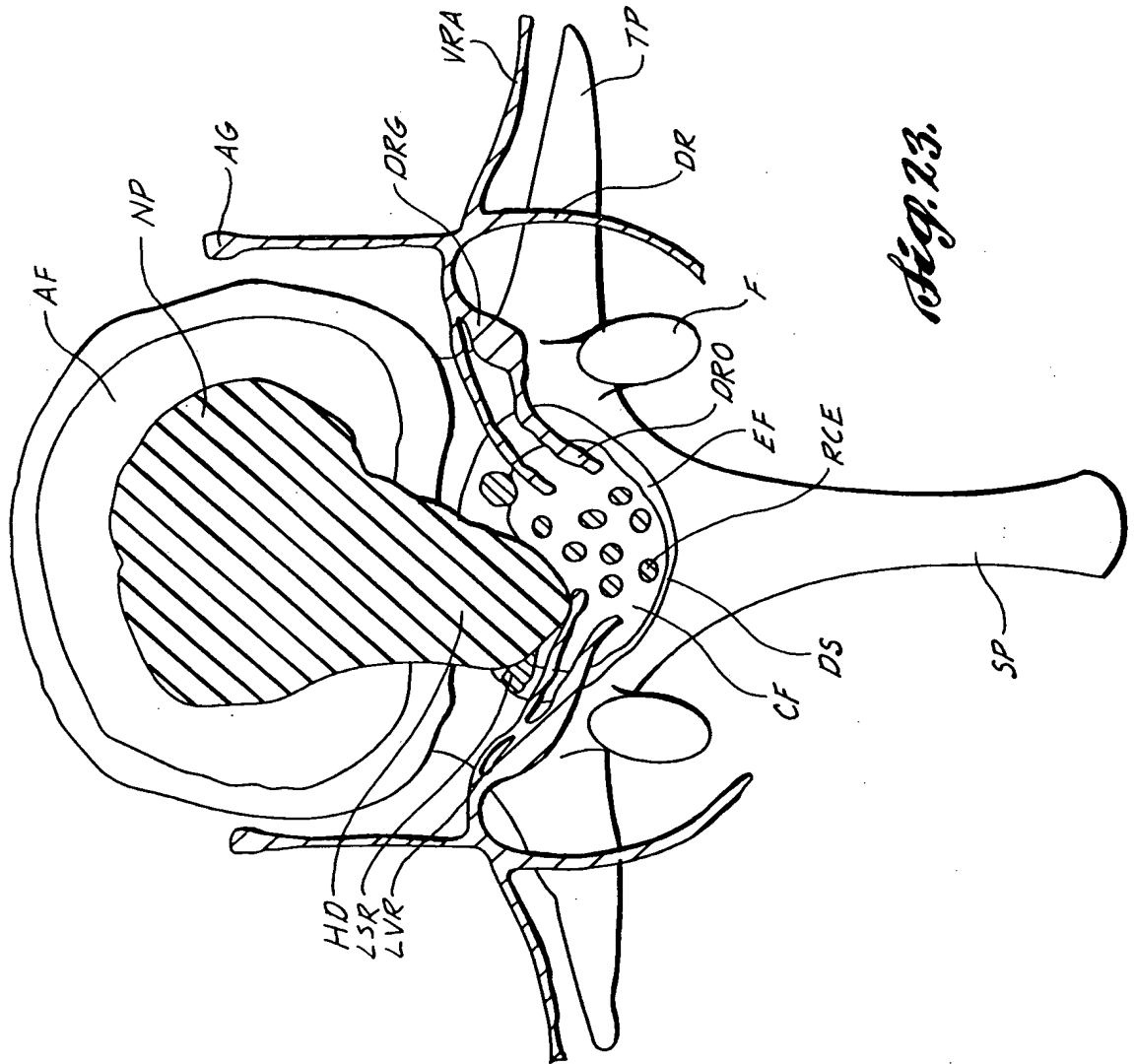


Fig. 23.



Fig. 24.

